



Foto 1
FD

Vista de la Formación de Guadix $T_2^B - Q_{1gs}$ con su característico relieve en "Band-lands". En primer término, la Formación de Guadix, en 2º término el Cuaternario aluvial que dà lugar a la vega de Guadix-Benalúa. En 3º término de nuevo la Formación de Guadix y al fondo los mantos alpujárrides de la Sierra de Baza.

Foto 10



Pliegues en los mármoles de la Formación de mármoles y anfibolitas del manto del Mulhacén (Complejo de Sierra Nevada) Δ M.

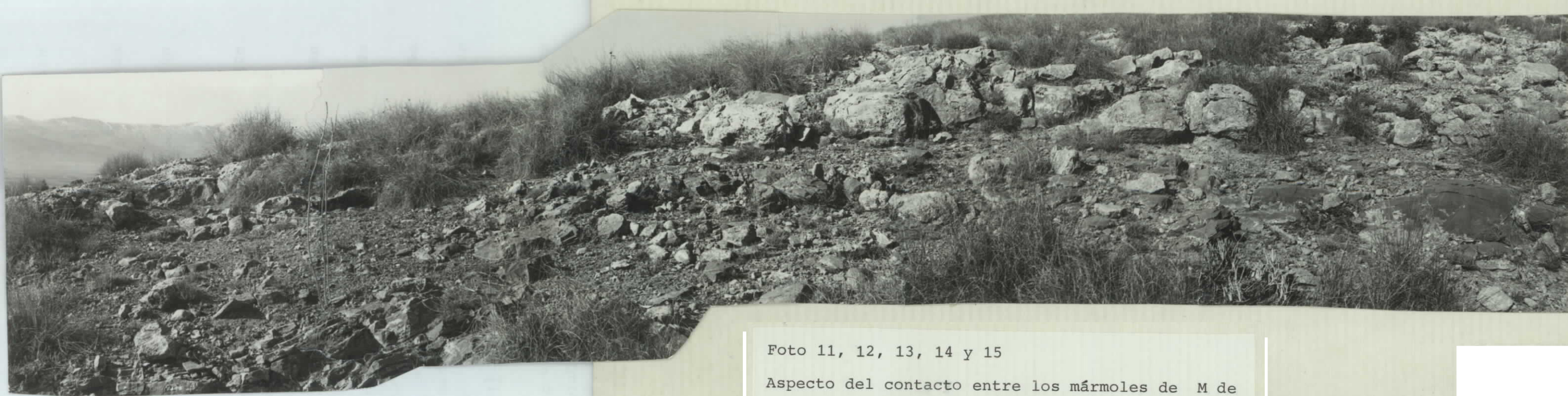


Foto 11, 12, 13, 14 y 15

Aspecto del contacto entre los mármoles de M de la Formación de mármoles y anfibolitas del Manto del Mulhacén y la brecha del Cerro de San Cristóbal. Se observa una casi perfecta adaptación de dicho contacto al buzamiento de los mármoles.



Foto 16

Aspecto de un gran bloque de Dolomias negras de - grano muy grueso dentro de la brecha del Cerro de San Cristóbal.



Foto 17 y 18

Detalles de la brecha del Cerro de San Cristóbal.





Foto 19 y 20

Panorámica de la Depresión de Guadix. En primer término, el nivel cuaternario de colmatación de la cuenca ($Q_1 - Q_{2g}^{aKG}$). Al fondo, los materiales -- del Complejo de Sierra Nevada rpdb y r_p . En el centro, en segundo plano, hacia la izquierda, los Cerros de Juan Canal y del Castillo de la Calahorra, constituidos por calizas y dolomias de la -- formación carbonatada TA_{2-3}^{dc} de la Unidad de Santa Bárbara (Complejo Alpujárride). En el centro, a la derecha, escombreras de las explotaciones de hierro del Marquesado.

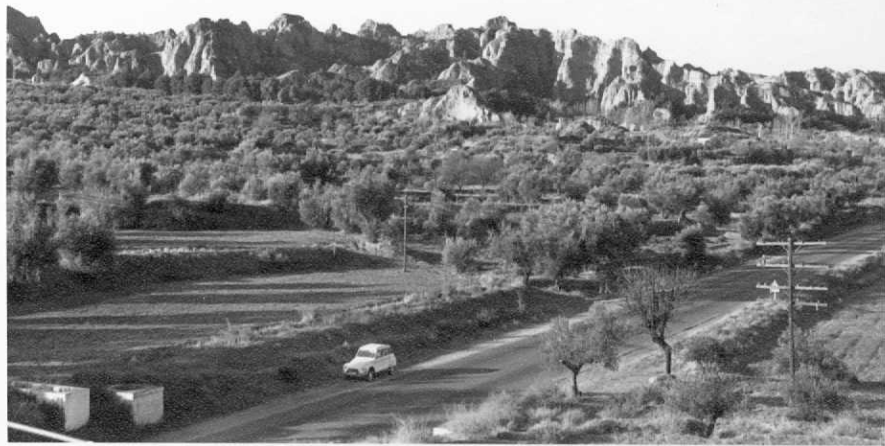


Foto 2

Fb

Detalle del relieve en "Band-lands" excavado en -
materiales de la Formación de Guadix. T_2^B -Q_{1gs}



Foto 21

Fotografía del contacto entre los Complejos Alpujarride y de Sierra Nevada. En el centro, a la izquierda, las filitas de la unidad de Santa Bárbara P-T_{A1F}. En primer término, en la parte central los mármoles del Manto del Mulhacén M; En 2º término, el nivel cuaternario de colmatación de la cuenca, que constituye una pequeña elevación, que llega a ocultar el contacto. Al fondo los materiales de la formación carbonatada de la Unidad de Quintana (Cerro Grande) ($T_A^{d\ 2-3}$; $T_A\ 2-3$ y $T_A^c\ 2-3$).



Foto 22

Pliegues (probablemente de las primeras fases de deformación) ζ_{ZtK} en un nivel cuarcítico de la - formación de mármoles y anfibolitas del Manto del Mulhacen.



Foto 23 y 24

Aspecto de la superposición de las tres unidades alpujárrides inferiores:

- 1 = Formación de mármoles y anfibolitas del -- manto del Mulhacén. Complejo de Sierra Nevada. M
- 2 = Formación de filitas y cuarcitas de la Unidad de Santa Bárbara. Obsérvese el contacto oblicuo a la S_o , de esta formación con:
- 3 = Formación carbonatada de la unidad de Santa Bárbara. (T_{A2-3}^{dc})
- 4 = ($P-T_{A1}$) Formación de filitas y cuarcitas - de la unidad de Quintana. Obsérvese el contacto oblicuo a S_o , con los materiales de la unidad de Santa Bárbara (2) y (3).
- 5 = Dolomias negras de la base de la formación carbonatada de la unidad de Quintana (T_{A2-3}^d)
- 6 y 7 = Unidad de los Blanquizares $P-T_{A1}^f$ y - T_{A2-3}^{dx} . Obsérvese cómo la formación carbonatada de la unidad de Quintana se lamina - hasta llegar a desaparecer.



Foto 25

Aspecto de los mármoles M y micasquistos ZtK -
de la formación de mármoles y anfibolitas del -
manto del Mulacén (Complejo de Sierra Nevada).



Foto 26

Aspecto de un afloramiento de serpentinitas , -
con esquistosidad muy desarrollada, del manto --
del Mulacén (Complejo de Sierra Nevada).



Foto 27 y 28

Otro aspecto de las unidades alpujárrides y su --
contacto con el Complejo de Sierra Nevada. Los nú
meros tienen la misma significación que en las fo
tos 23-24. Obsérvese la desaparición de la forma-
ción carbonatada de Santa Bárbara (3) en algunas
zonas, que dá lugar a que se pongan en contacto -
las filitas de la unidad de Santa Bárbara (2) y -
de Quintana (4). A la izquierda, los materiales -
objeto de las fotos 23-24.



Foto 29

Contacto por falla entre la Unidad de Santa Bárbara y las serpentinitas del manto del Mulhacén. La falla cruza la foto desde el ángulo inferior - derecho al superior izquierdo, dejando arriba, a la derecha, el bloque hundido (Unidad de Santa -- Bárbara) y abajo, a la izquierda, las serpentinitas.



Depósitos actuales de Ramblas. Q_2^R . En la parte central, explotación para aprovechamiento de las gravas.

Foto 30

Pliegues de S_1 en las filitas de la unidad de Santa Bárbara (Ejes: N 95-100° E, 3-5° O. Superficies axiales prácticamente horizontales).



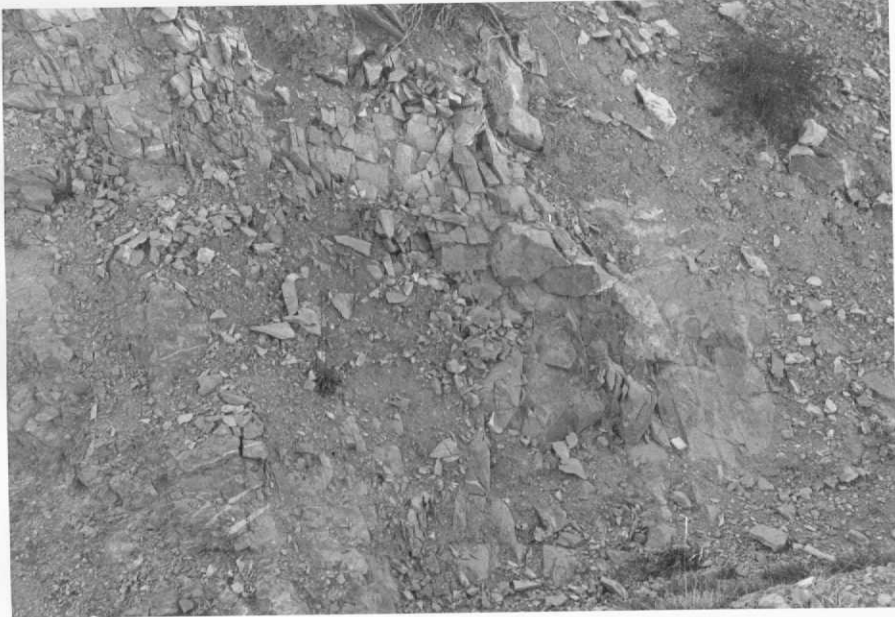


Foto 31

Aspecto de los niveles margosos dolomíticos de la parte inferior de la formación carbonatada de la unidad de Santa Bárbara (Amarillentos en superficie y grises en corte fresco). (T_{A2-3}^{dc})

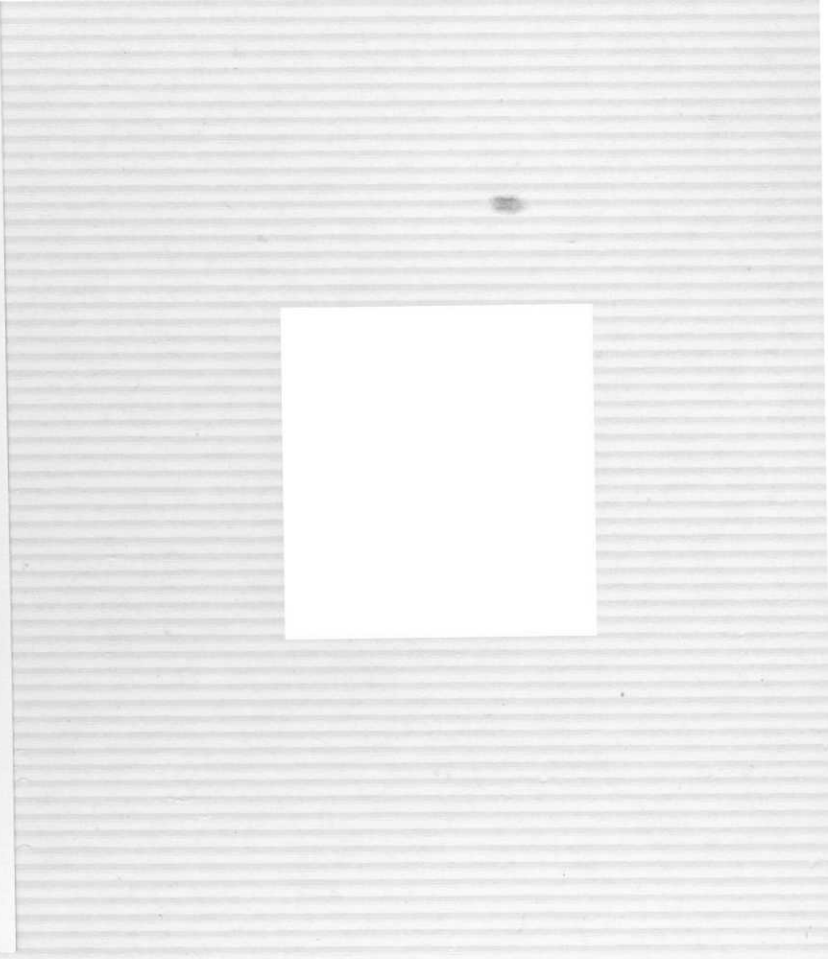


Foto 32

Aspecto de las calizas con laminaciones debidas a algas, de similar posición estratigráfica a la foto 31. (T_{A2-3}^{dc})



Foto 33

Aspecto del contacto entre los complejos alpujárride y de Sierra Nevada y vista parcial del sector oriental de la Ventana de Gor, en el centro - de la foto.





Foto 34 y 35

Aspecto de la unidad de los Blanquizares en el --
borde N de la Hoja. En el centro, al fondo, se ob-
serva una pequeña ventana tectónica de unidad de
Quintana, constituida por calizas y dolomias de -
su formación carbonatada, que emergen entre las -
Kakiritas T^{d x}_{A2-3} de la unidad de los Blanquizares.

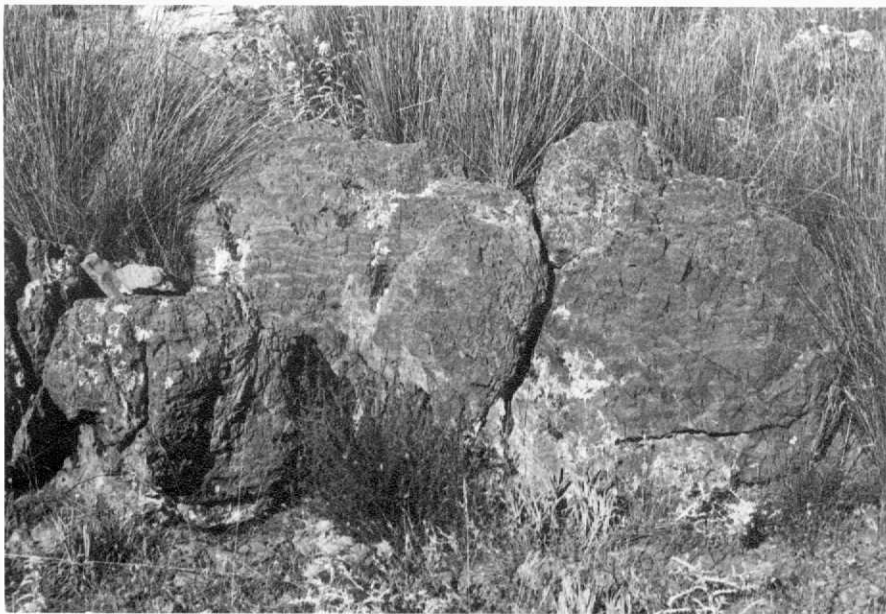


Foto 36

Aspecto característico de las dolomias negras con laminaciones debidas a algas del tramo primero de la formación carbonatada de la unidad de Quintana
 (T_{A2-3}^d)



Foto 37

Vista del Calar del Descabezado (Formación carbonatada (T_{A2-3}^{dc}) de la unidad de Santa Bárbara) desde el borde oriental de la Hoja.



Foto 38

Aspecto general de los micasquistos PhK oscuros de la formación de micasquistos con grafito del manto del Mulhacén (Complejo de Sierra Nevada). - Al fondo, a la izquierda, las calizas, filitas T_{A2-3}^{dc} y filitas $P-T_{A1}^f$ de la unidad de Santa Bárbara.





Foto 5
FD

Otro aspecto del relieve típico de "Band-lands" - excavado en los materiales superiores de la Formación de Guadix T_2^B - Q_{1gs} . En primer término el Cuaternario aluvial $Q_2 Al$.



Foto 6
FD

Detalle de un depósito de Rambla antiguo Q₂R.







Foto 7, 8 y 9

Panorámica de los afloramientos alpujárrides del borde norte de la Hoja. En primer término, el nivel cuaternario de colmatación de la cuenca Guadix-Baza ($Q_1 - Q_{2g}^{aKG}$).